

УДК 621.321

ПОЛИНОМИАЛЬНЫЙ СИНТЕЗ РЕГУЛЯТОРОВ ПОНИЖЕННОГО ПОРЯДКА ДЛЯ ОДНОКАНАЛЬНЫХ ДЕСКРИПТОРНЫХ СИСТЕМ

© А. В. Чехонадских

Новосибирский государственный технический университет,
630073, г. Новосибирск, просп. К. Маркса, 20
E-mail: chekhonadskikh@corp.nstu.ru

Применяется полиномиальный подход к синтезу оптимальных регуляторов пониженного порядка для линейных стационарных одноканальных систем, описываемых системами дифференциально-алгебраических уравнений. Метод критических корневых диаграмм и корневых многочленов использовался для синтеза таких регуляторов в классических системах автоматического управления. В работе берётся неустойчивый объект управления, заданный неправильной передаточной дробью с числителем 6-й степени и знаменателем 4-й степени. Для него находятся настройки стабилизирующих ПИЗ-регуляторов, среди которых выделяется оптимальный по степени устойчивости; расчёт импульсной характеристики подтверждает его астатизм и безымпульсность. Схема метода остаётся той же, что и для классических систем управления, однако возникающие полиномиальные системы уравнений оказываются выше по степени и труднее для численного решения.

Ключевые слова: дескрипторная система, дифференциально-алгебраические уравнения, регулятор пониженного порядка, расположение полюсов, максимальная степень устойчивости, критическая корневая диаграмма, корневой многочлен, полиномиальные уравнения, импульсная характеристика.

DOI: 10.15372/AUT20230311

Введение. Дескрипторные системы управления, часто называемые также сингулярными или обобщёнными, описываются системами дифференциальных и алгебраических уравнений (ДАУ, DAE-systems) [1]. На практике нередко возникают примеры, когда использование алгебраических связей для понижения числа входящих в уравнения переменных неудобно или невозможно [1–3]. Поэтому всю систему, связывающую неизвестную вектор-функцию $x(t)$, внешнее (в частности, управляющее) воздействие $u(t)$ и доступный измерению выход $y(t)$, приходится рассматривать в виде векторного дифференциально-алгебраического уравнения. Если эти связи линейны и стационарны, им можно придать векторно-матричную форму с необратимой матрицей E :

$$E\dot{x}(t) = Ax(t) + Bu(t),$$
$$y(t) = Cx(t).$$

Хорошо известно, что свойства систем обыкновенных дифференциальных уравнений (ОДУ) и ДАУ-систем существенно различаются, в частности, из-за наличия импульсных составляющих в решениях последних. Для существования и единственности решения требуется регулярность матричной пары $(E; A)$, т. е. необращение в тождественный ноль определителя $|sE - A|$ или выполнение неравенства $|\alpha E - A| \neq 0$ для некоторого скаляра α .

Условие регулярности оказывается чисто алгебраическим; применение преобразования Лапласа к векторно-матричному ДАУ приводит также к алгебраическому уравнению для изображений

$$Y(s) = C(sE - A)^{-1}BU(s) + C(sE - A)^{-1}Ex(0);$$

входящая в него дробно-рациональная матрица $G(s) = C(sE - A)^{-1}B$ называется передаточной матрицей системы. При нулевых начальных условиях или при условии $Ex(0) = 0$ она задаёт связь между выходом системы $y(t)$ и управляющим воздействием $u(t)$.

Также алгебраическую форму принимают определения важнейших для ДАУ-систем свойств, таких как

— устойчивость: все полюса системы имеют отрицательную действительную часть, т. е. $\{z \mid \det(zE - A) = 0\} \subset C^-$;

— безимпульсность: $\deg \det(sE - A) = \text{rank } E$.

Наконец, система называется допустимой, если она регулярна, устойчива и безимпульсна.

Поскольку основные понятия дескрипторных систем в частотной области принимают алгебраическую форму, попытка применить алгебраические средства для расчёта стабилизирующей обратной связи представляется вполне естественной, что отмечается в [4, 5]. Однако численное решение ДАУ и синтез регуляторов для дескрипторных систем осуществляется исключительно в пространстве состояний. Отчасти это связано с тем, что в отличие от ОДУ-систем передаточная матрица дескрипторной системы за счёт импульсной составляющей оказывается неправильной или, что то же самое, суммой строго правильной и целой полиномиальной матриц: $G(s) = G_1(s) + G_2(s)$; в свою очередь, это предопределяет заметные отличия в поиске стабилизирующего замкнутую систему регулятора.

В представленной работе излагается алгебраический метод нахождения оптимальных или субоптимальных регуляторов пониженного порядка для одноканальных дескрипторных систем. Основные идеи такого подхода для классических линейных стационарных систем управления изложены в работах [6–8], где они демонстрируются на примерах синтеза регулятора пониженного порядка для трёхмассовой конструкции с упругими связями и двойного перевёрнутого математического маятника на подвижном основании.

Постановка задачи. Рассмотрим объект управления, передаточная функция которого представляет собой неправильную рациональную дробь $G(s) = N_{pl}D_{pl}^{-1}$. Управление переходными процессами осуществляется регулятором с передаточной функцией $Co(s) = N_{co}D_{co}^{-1}$; будем называть его порядок пониженным, если число настраиваемых параметров или способ их вхождения в характеристический многочлен замкнутой системы (знаменатель её передаточной функции $F(s) = N_{pl}N_{co} + D_{pl}D_{co}$) не позволяет обеспечить произвольное расположение характеристических корней, т. е. полюсов системы.

На примере дескрипторной системы, заданной неустойчивой передаточной дробью с целой (импульсной) частью 2-й степени, продемонстрируем применение техники критических корневых диаграмм [6, 7] для построения стабилизирующего ПИЗ-регулятора, обеспечивающего оптимальную или субоптимальную степень устойчивости и астатизм замкнутой системы.

Гурвицева функция, критические диаграммы и корневые многочлены. Пусть $\{z_1, \dots, z_n\}$ — характеристические корни, или полюса замкнутой системы, возможно, совпадающие, так что $n = \deg F(s)$. В качестве целевой возьмём гурвицеву функцию, которая противоположна степени устойчивости системы: $H = \max_k \text{Re } z_k$.

Те корни, на которых достигается максимум, будем называть крайними правыми: $\{p_0, \dots, p_{2k}\} \subseteq \{z_1, \dots, z_n\}$, где p_0 — самый правый из действительных корней (если он существует и $H = p_0$), а следующие $2k$ корней образуют комплексно-сопряжённые пары.

Функция $H(K)$ фактически зависит от m настраиваемых параметров регулятора $K = \{\kappa_1, \dots, \kappa_m\}$, поэтому достижение максимальной степени устойчивости означает минимизацию гурвицевой функции в m -мерном пространстве свободных параметров регуля-

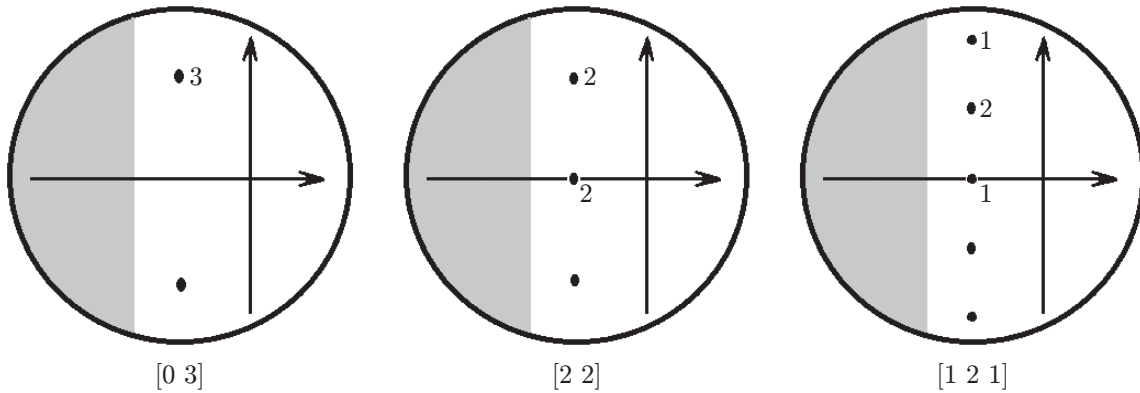


Рис. 1. Критические корневые диаграммы, схематически показывающие расположение правых полюсов для оптимальных регуляторов с четырьмя настраиваемыми параметрами. Значение R-градуировок и степень устойчивости определяются положением крайних правых полюсов, остальные на неё не влияют и условно изображаются серой зоной слева

тора. Этот подход содержательно и технически отличается от нахождения оптимального регулятора с использованием квадратичных функционалов [9].

Минимизация невыпуклых функций сопряжена с хорошо известными трудностями [10]; для функции $H(K)$ они усугубляются её овражным рельефом, многоэкстремальностью и недифференцируемостью [6, 11]. Поэтому обычные оптимизационные средства здесь представляются малоэффективными. Однако на множестве задач удалось убедиться, что типичные минимумы гурвицевой функции находятся в точках пространства параметров, где совпадают либо сами характеристические корни: $z_k = z_l$, т. е. они оказываются кратными, либо их действительные части: $\text{Re } z_k = \text{Re } z_l$. Аналогичные возможности представляются и для функций, подобных гурвицевой и названных в [6, 7] R-градуировками.

Схематическое изображение взаимного расположения крайних правых корней будем называть корневым диаграммой; три из них, которые потребуются для изложения примера далее, представлены на рис. 1. Поскольку положение остальных корней не влияет на значение гурвицевой функции $H(K)$, они условно изображены на диаграмме серой зоной.

Условие одновременного попадания простого действительного корня и комплексной пары или двух комплексных пар на прямую $\text{Re } z = H(K)$ — правую границу области расположения всех корней — задаёт $(m - 1)$ -мерное многообразие в пространстве K параметров регулятора. Если действительный корень двукратный, размерность этого многообразия уменьшается на единицу, если двукратна комплексная пара — на двойку. Расположение на правой границе k различных комплексных пар или $k - 1$ пары и простого действительного корня задаёт многообразие размерности $m - k + 1$. Пока эта размерность положительна, могут быть продолжены минимизация гурвицевой функции (как и другой целевой функции) и соответственно смещение влево правой границы вместе с расположенными на ней корнями. При этом на правую границу попадают корни, находившиеся левее, их подмножество увеличивается, как и число уравнений, задающих границу в пространстве K параметров регулятора, так что размерность соответствующего диаграмме многообразия снижается.

Обозначив значение гурвицевой функции $H(K) = x$, запишем несовпадающие крайние правые корни: $p_0 = x$, $p_{1,2} = x \pm iy_1, \dots, p_{2k-1,2k} = x \pm iy_k$ ($0 < y_1 < \dots < y_k$).

Пусть n_0 — кратность действительного корня p_0 ($n_0 = 0$, если среди крайних правых корней нет действительного корня); n_1 — кратность комплексной пары $p_{1,2} = x \pm iy_1$ и далее до n_k — кратность пары $p_{2k-1,2k} = x \pm iy_k$.

Тогда при условии $m = n_0 + 2n_1 + \dots + 2n_k - k - 1$ размерность многообразия оказывается нулевой (т. е. оно состоит из нескольких точек), а все варианты взаимных расположений правых корней можно перечислить [8]. Поскольку в каждом случае могут достигаться локальные и глобальный экстремумы целевой функции, будем называть соответствующие корневые диаграммы критическими. Их общее число и точные схемы зависят от размерности пространства параметров.

Строка кратностей $[n_0 \ n_1 \ \dots \ n_k]$ задаёт код критической корневой диаграммы. Например, для диаграмм на рис. 1 кодами оказываются $[0 \ 3]$, $[2 \ 2]$ и $[1 \ 2 \ 1]$.

То расположение корней, которое схематизируется корневой диаграммой, задаёт корневой многочлен [6–8], т. е. набор множителей, включающий эти корни:

$$\begin{aligned} r(s) &= (s-x)^{n_0} [(s-x+iy_1)(s-x-iy_1)]^{n_1} \dots [(s-x+iy_k)(s-x-iy_k)]^{n_k} = \\ &= (s-x)^{n_0} (s^2 - 2xs + x^2 + y_1^2)^{n_1} \dots (s^2 - 2xs + x^2 + y_k^2)^{n_k}. \end{aligned}$$

Если некоторые характеристические корни $\{p_0, \dots, p_{2k}\}$ кратностей $[n_0 \ n_1 \ \dots \ n_k]$ располагаются на комплексной плоскости вертикально $p_0 = \operatorname{Re} p_1 = \dots = \operatorname{Re} p_{2k}$, то характеристический многочлен $F(s)$ делится на корневой $r(s)$ нацело, т. е. $\operatorname{rem}(F(s), r(s)) = 0$; это условие позволяет сформировать систему уравнений для нахождения критических точек гурвицевой функции. Критическая корневая диаграмма реализуется, этот «вертикальный» набор корней $\{p_0, \dots, p_{2k}\}$ действительно располагается правее всех остальных.

Расчёт примера. Пусть передаточная функция объекта такова:

$$\begin{aligned} G(s) &= \frac{N_{pl}}{D_{pl}} = \frac{s^6 + 3s^5 + 12s^4 + 17s^3 + 28s^2 + 12s + 8}{s^4 - 2s^3 + 6s^2 - 8s + 8} = \\ &= IMP(s) + \frac{R(s)}{D_{pl}(s)} = s^2 + 5s + 16 + \frac{27s^3 - 36s^2 + 100s - 120}{s^4 - 2s^3 + 6s^2 - 8s + 8}. \end{aligned}$$

Знаменатель объекта $D_{pl}(s) = s^4 - 2s^3 + 6s^2 - 8s + 8 = (s^2 - 2s + 2)(s^2 + 4)$ содержит два полюса на границе устойчивости и два неустойчивых полюса; колебательность, задаваемая мнимыми частями полюсов, также достаточно велика.

Если взять ПИЗ-регулятор с передаточной функцией

$$Co(s) = \frac{N_{co}}{D_{co}} = \frac{a_1 s^3 + b_1 s^2 + c_1 s + d_1}{s^3},$$

то передаточная функция замкнутой системы

$$W(s) = \frac{G(s) Co(s)}{1 + G(s) Co(s)} = \frac{N_{pl} N_{co}}{N_{pl} N_{co} + D_{pl} D_{co}}$$

приведёт к такому характеристическому многочлену:

$$\begin{aligned} F(s) &= N_{pl} N_{co} + D_{pl} D_{co} = a_1 s^9 + (3a_1 + b_1) s^8 + (12a_1 + 3b_1 + c_1 + 1) s^7 + (17a_1 + 12b_1 + \\ &+ 3c_1 + d_1 - 2) s^6 + (28a_1 + 17b_1 + 12c_1 + 3d_1 + 6) s^5 + (12a_1 + 28b_1 + 17c_1 + 12d_1 - 8) s^4 + \\ &+ (8a_1 + 12b_1 + 28c_1 + 17d_1 + 8) s^3 + (8b_1 + 12c_1 + 28d_1) s^2 + (8c_1 + 12d_1) s + 8d_1 = \end{aligned}$$

$$\begin{aligned}
 &= a_1 f(s) = a_1 [s^9 + (3 + b)s^8 + (12 + 3b + c + a)s^7 + (17 + 12b + 3c + d - 2a)s^6 + \\
 &+ (28 + 17b + 12c + 3d + 6a)s^5 + (12 + 28b + 17c + 12d - 8a)s^4 + (8 + 12b + 28c + \\
 &+ 17d + 8a)s^3 + (8b + 12c + 28d)s^2 + (8c + 12d)s + 8d],
 \end{aligned}$$

где $a = 1/a_1$, $b = b_1/a_1$, $c = c_1/a_1$, $d = d_1/a_1$.

Замкнутая система стабилизируема; например, при числителе $N_{co}(s) = s^3 + 2s^2 + 14s + 18$ степень устойчивости системы равняется 0,176, так как крайние правые полюса здесь $p_{1,2} \approx -0,176 \pm 0,615$, а остальные характеристические корни z_3, \dots, z_9 расположены левее (их обозначение сменилось, а нумерация продолжена).

Поиск локальных и глобального экстремумов четырёхпараметрической функции $H(a, b, c, d)$ с помощью критических корневых расположений требует рассмотрения 13 корневых диаграмм и 10 различных корневых многочленов [7, 8], поскольку некоторым диаграммам соответствует один и тот же корневой многочлен. Далее проиндексируем корневые многочлены кодами соответствующих корневых диаграмм.

Заметим, что случай $[0 \ 1 \ 1 \ 1 \ 1]$ пяти простых комплексно-сопряжённых пар с одинаковой действительной частью здесь невозможен, так как он требует многочлена, как минимум, 10-й степени. Теоретически допустимый случай $[1 \ 1 \ 1 \ 1 \ 1]$, требующий простоты всех полюсов системы и их расположения на одной вертикали: $\text{Re } p_{1,\dots,8} = p_0$, здесь не возникает. Рассмотрим реализующиеся варианты.

1) Простейший вариант критического корневого расположения включает пятикратный действительный корень $p_{1,\dots,5} = x$, который должен оказаться правее остальных четырёх. Код критической диаграммы $[5]$, корневого многочлен принимает форму $r_{[5]} = (s - x)^5$. При делении характеристического многочлена $f(s)$ на корневой получается остаток степени 4. Поскольку реализация корневого расположения требует деления нацело, остаток нужно приравнять к тождественному нулю:

$$\text{rem}(f(s), r_{[5]}) = eq_4 s^4 + eq_3 s^3 + eq_2 s^2 + eq_1 s + eq_0 = 0.$$

Следовательно, в ноль обращаются все его коэффициенты eq_k :

$$\begin{aligned}
 eq_4 = & (35x^3 - 30x^2 + 30x - 8)a + (70x^4 + 105x^3 + 180x^2 + 85x + 28)b + (35x^3 + 45x^2 + \\
 & + 60x + 17)c + (15x^2 + 15x + 12)d + 126x^5 + 210x^4 + 420x^3 + 255x^2 + 140x + 12 = 0;
 \end{aligned}$$

$$\begin{aligned}
 eq_3 = & (80x^3 - 105x^4 - 60x^2 + 8)a - (224x^5 + 315x^4 + 480x^3 + 170x^2 - 12)b - (105x^4 + 120x^3 + \\
 & + 120x^2 - 28)c - (40x^3 + 30x^2 - 17)d - 20(21x^6 + 33,6x^5 + 63x^4 + 34x^3 + 14x^2 - 0,4) = 0;
 \end{aligned}$$

$$\begin{aligned}
 eq_2 = & (126x^5 - 90x^4 + 60x^3)a + (280x^6 + 378x^5 + 540x^4 + 170x^3 + 8)b + (126x^5 + 135x^4 + \\
 & + 120x^3 + 12)c + (45x^4 + 30x^3 + 28)d + 540x^7 + 840x^6 + 1512x^5 + 765x^4 + 280x^3 = 0;
 \end{aligned}$$

$$\begin{aligned}
 eq_1 = & (-70x^6 + 48x^5 - 30x^4)a - (160x^7 + 210x^6 + 288x^5 + 85x^4)b - (70x^6 + 72x^5 + 60x^4 - 8)c - \\
 & - (24x^5 + 15x^4 - 12)d - 315x^8 - 480x^7 - 840x^6 - 408x^5 - 140x^4 = 0;
 \end{aligned}$$

$$eq_0 = (15x^7 - 10x^6 + 6x^5)a + (35x^8 + 45x^7 + 60x^6 + 17x^5 + 85x^4)b + (15x^7 + 15x^6 + 12x^5)c + \\ + (5x^6 + 3x^5 + 8)d + 70x^9 + 105x^8 + 180x^7 + 85x^6 + 28x^5 = 0.$$

Стандартная численная процедура решения полиномиальной системы уравнений приводит к неустойчивому значению $x \approx 0,2697$.

Однако из уравнения $eq_4 = 0$ можно выразить параметр d и, подставляя его в остальные, получить систему четырёх уравнений $eq'_3 = eq'_2 = eq'_1 = eq'_0 = 0$. Теперь стандартная процедура приводит к другому ответу, который также неустойчив: $x \approx 3,1200$.

Далее можно выразить параметр c из уравнения $eq'_3 = 0$ и подставить его в остальные три: $eq''_2 = eq''_1 = eq''_0 = 0$.

Теперь появляется устойчивое решение: $x \approx -2,8517$, $a \approx -6,3063$, $b \approx 12,4939$, соответствующий характеристический многочлен таков:

$$f(s) \approx s^9 + 15,4939s^8 + 104,1621s^7 + 408,9562s^6 + 1073,7682s^5 + \\ + 2006,5316s^4 + 2604,8637s^3 + 2132,5753s^2 + 1045,3718s + 371,6528.$$

Его корни включают две комплексные пары $z_{1,2} \approx -0,1921 \pm 0,6368i$, $z_{3,4} \approx -0,4258 \pm 2,0673i$, а также «почти пятикратную» группу корней:

$$z_5 \approx -2,9345, \quad z_{6,7} \approx -2,7859 \pm 0,0471i, \quad z_{8,9} \approx -2,8761 \pm 0,0784i.$$

Степень устойчивости здесь немного больше, чем для вышеприведённого случая, но критическое корневое расположение не возникает (можно назвать его зеркальным отражением критического): пятикратный корень оказывается не справа, а слева от остальных. Это позволяет смещать правую комплексную пару влево, уменьшая значение функции $H(a, b, c, d)$ за счёт лучшего выбора параметров регулятора.

2) Случай трёхкратной комплексной пары $p_{1,\dots,6} = x \pm iy$ несколько сложнее. Здесь код критической корневой диаграммы **[0 3]** (см. рис. 1, слева), корневой многочлен $r_{[03]} = (s^2 - 2xs + x^2 + y^2)^3$. Деление $f(s)/r_{[03]}$ приводит к остатку пятой степени

$$\text{rem}(f(s), r_{[03]}) = eq_5s^5 + eq_4s^4 + eq_3s^3 + eq_2s^2 + eq_1s + eq_0,$$

коэффициенты eq_k которого нужно приравнять к нулю:

$$eq_5 = (21x^2 - 3y^2 - 12x + 6)a + (56x^3 - 24xy^2 + 63x^2 - 9y^2 + 72x + 17)b + (21x^2 - 3y^2 + 18x + \\ + 12)c + (6x + 3)d + 126x^4 + 6y^4 - 108x^2y^2 + 168x^3 - 72xy^2 + 252x^2 - 36y^2 + 102x + 28 = 0;$$

⋮

$$eq_0 = (-6x + 2)(x^2 + y^2)^3a + (-18x^5(x^2 + 3y^2) - 21x^8 - 60x^6y^2 - 54x^4y^4 - 12x^2y^6 + 3y^8 - \\ - 18xy^4(x^2 + 3y^2) - 12(x^2 + y^2)^3)b + (-3(x^2 + y^2)^3)c + (x^2 + y^2)^3d - \\ - 56x^9 - 144x^7y^2 - 96x^5y^4 + 16x^3y^6 + 24xy^8 - 63x^8 - 180x^6y^2 - 36x^2y^6 - 162x^4y^4 + 9y^8 - \\ - 6x(12x^6 + 13y^6) - 17(x^6 + y^6) - 216x^3y^2(x^2 + y^2) - 51x^2y^2(x^2 + y^2)^5 = 0.$$

Численное решение приводит к следующим значениям:

$$x \approx -0,2996, \quad y \approx 1,0267, \quad a \approx -0,5346, \quad b \approx 0,2634, \quad c \approx 1,2287, \quad d \approx 0,5939.$$

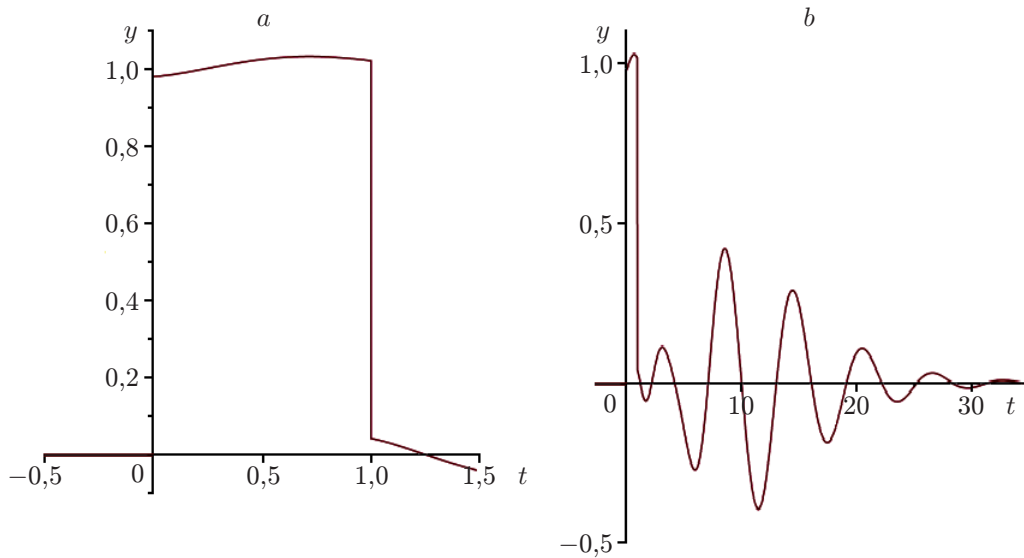


Рис. 2. Импульсная характеристика системы, замкнутой субоптимальным ПИ₃-регулятором: *a* — график выхода системы при действии возмущения $\Delta y = \text{Heviside}(t) - \text{Heviside}(t-1)$; *b* — график участка стабилизации возмущения до 0,01 от начального значения

Характеристический многочлен получается следующим:

$$f(s) \approx s^9 + 3,2634s^8 + 13,4845s^7 + 25,51062s^6 + 45,7980s^5 + 51,6685s^4 + 51,3860s^3 + 33,4812s^2 + 16,9566s + 4,7510.$$

Его крайние правые корни $p_{1,2} \approx -0,2990 \pm 1,0270i$, $p_{3,4} \approx -0,2996 \pm 1,0260i$, $p_{5,6} \approx -0,3002 \pm 1,0270i$ близки к трёхкратной комплексной паре; тройка остальных расположена левее: $z_{7,8} \approx -0,4610 \pm 2,3721i$, $z_9 \approx -0,5437$.

Поэтому критическая корневая диаграмма реализована, и здесь достигается локальный минимум гурвицевой функции, хотя её значение лишь немного ниже, чем в предыдущем случае.

На рис. 2 показана импульсная характеристика системы, на вход которой подаётся возмущение $\Delta y = \text{Heviside}(t) - \text{Heviside}(t-1)$. Хотя общая динамика переходных процессов астатически устойчива, обращают на себя внимание и наращивание величины возмущения в процессе действия импульса на интервале 0–0,7 с, и рост амплитуды остаточных колебаний на отрезке 1–9 с.

3) Случай двукратной комплексной пары $p_{2,\dots,6} = x \pm iy$ с той же действительной частью, что и кратный корень $p_{0,1} = x$, схож с предыдущим. Код корневой диаграммы [2 2] (см. рис. 1 в центре), корневой многочлен принимает форму $r_{[2\ 2]} = (s - x)^2(s^2 - 2xs + x^2 + y^2)^2$. Степень остатка от деления $f(s)/r_{[2\ 2]}$ также равна пяти, но уравнения для параметров иные:

$$eq_5 = (21x^2 - 3y^2 - 12x + 6)a + (56x^3 - 24xy^2 + 63x^2 - 9y^2 + 72x + 17)b + (21x^2 - 3y^2 + 18x + 12)c + (6x + 3)d + 126x^4 + 6y^4 - 108x^2y^2 + 168x^3 - 72xy^2 + 252x^2 - 36y^2 + 102x + 28 = 0;$$

⋮

$$eq_0 = (-6x + 2)(x^2 + y^2)^3 a + (-18x^5(x^2 + 3y^2) - 21x^8 - 60x^6y^2 - 54x^4y^4 - 12x^2y^6 + 3y^8 - \\ - 18xy^4(x^2 + 3y^2) - 12(x^2 + y^2)^3)b + (-3(x^2 + y^2)^3)c + (x^2 + y^2)^3d - \\ - 56x^9 - 144x^7y^2 - 96x^5y^4 + 16x^3y^6 + 24xy^8 - 63x^8 - 180x^6y^2 - 36x^2y^6 - 162x^4y^4 + 9y^8 - \\ - 6x(12x^6 + 13y^6) - 17(x^6 + y^6) - 216x^3y^2(x^2 + y^2) - 51x^2y^2(x^2 + y^2)^5 = 0.$$

Численное решение даёт такие значения:

$$x \approx -0,6656, \quad y \approx 0,5000, \quad a \approx 1,3521, \quad b \approx 5,1336, \quad c \approx 2,5789, \quad d \approx 0,4443.$$

Характеристический многочлен получается следующим:

$$f(s) \approx s^9 + 8,1336s^8 + 31,3318s^7 + 84,0800s^6 + 155,6640s^5 + \\ + 194,0971s^4 + 160,31834s^3 + 84,4558s^2 + 25,9629s + 3,5542.$$

Его крайними правыми корнями оказывается пара $p_{1,2} \approx -0,3974 \pm 2,1992$.

Корневое расположение, предусматривающееся корневой диаграммой, реализуется левее этой пары: $z_{3,4} \approx -0,6656 \pm 0,0010$, $z_{5,6} \approx -0,6653 \pm 0,5004$, $z_{7,8} \approx -0,6658 \pm 0,4995$ (здесь пару $z_{3,4}$ можно рассматривать как «почти двукратный» действительный корень, а комплексные пары $z_{5,6}$, $z_{7,8}$ вместе образуют «почти двукратную» пару). Самым левым окажется простой действительный корень $z_9 \approx -3,3452$. Хотя степень устойчивости здесь выше, чем в предыдущих случаях, расположение корней не является критическим, и степень устойчивости может быть улучшена.

4) Наилучший результат получился при таком расположении: крайними правыми полюсами должны быть простой действительный корень $p_0 = x$, двукратная комплексная $p_{1,\dots,4} = x \pm iy_1$ и простая комплексная $p_{5,6} = x \pm iy_2$ пары с одинаковой действительной частью. Этому соответствуют код диаграммы **[1 2 1]** (см. рис. 1 справа) и корневой многочлен

$$r_{[1\ 2\ 1]} = (s - x)(s^2 - 2xs + x^2 + y_1^2)^2(s^2 - 2xs + x^2 + y_2^2).$$

Остаток от деления $f(s)/r_{[1\ 2\ 1]}$ имеет 6-ю степень, и приравнивание к нулю его коэффициентов приводит к уравнениям

$$eq_6 = (7x - 2)a + (28x^2 - 2y_1^2 - y_2^2 + 21x + 12)b + (7x + 3)c + d + \\ + 84(x^3 + x^2 + x) - (3x + 1)(6y_1^2 + 3y_2^2) + 17 = 0;$$

⋮

$$eq_0 = x(x^2 + y_1^2)^2(x^2 + y_2^2)(a + c + (7x + 3)b + 28x^2 - 2y_1^2 - y_2^2 + 21x + 12) + 8d = 0.$$

Численное решение таково:

$$x \approx -0,4428, \quad y_1 \approx 0,5437, \quad y_2 \approx 2,1678,$$

$$a \approx 0,5250, \quad b \approx 2,8725, \quad c \approx 1,5885, \quad d \approx 0,3098.$$

Оно задаёт следующий характеристический многочлен:

$$f(s) \approx s^9 + 5,8725s^8 + 22,7308s^7 + 55,4948s^6 + 99,9727s^5 + \\ + 118,9505s^4 + 96,4126s^3 + 50,7152s^2 + 16,4251s + 2,4783.$$

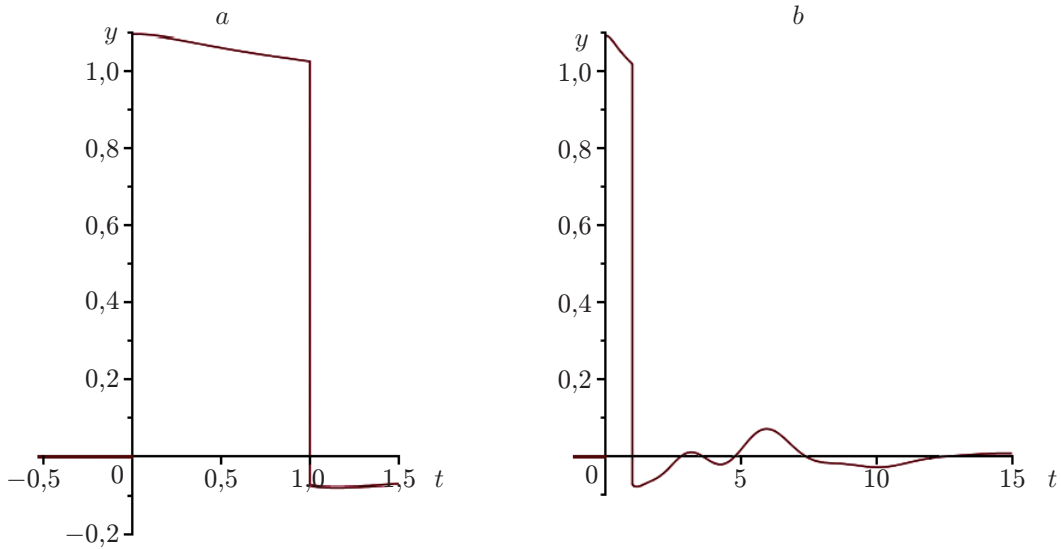


Рис. 3. Импульсная характеристика системы, замкнутой оптимальным ПИ₃-регулятором (обозначения как на рис. 2)

На его корневом множестве достигается наибольшее значение степени устойчивости из тех, что удалось найти почти с той же колебательностью по сравнению с самим объектом:

$$p_0 \approx -0,44282, \quad p_{1,2} \approx -0,44281 \pm 0,54371i, \quad p_{3,4} \approx -0,44283 \pm 0,54379i,$$

$$p_{5,6} \approx -0,44282 \pm 2,16780i, \quad z_{7,8} \approx -1,38636 \pm 1,67497i.$$

Здесь, вероятно, достигается глобальный минимум гурвицевой функции.

На рис. 3 показана импульсная характеристика системы под действием возмущения $\Delta y = \text{Heviside}(t) - \text{Heviside}(t - 1)$. Подавление квадратного импульса начинается уже во время его действия на замкнутую систему; как показывают расчёты, переходные процессы не выходят за рамки 0,01 от исходного возмущения уже после 12 с — это примерно в 2,7 раза быстрее, чем в случае (2).

Замечание. Решение с близким по действительной части значением $x \approx -0,4405$ для всей шеренги корней диаграммы рис. 1 (справа) достигается при значениях $y_1 \approx 0,9927$, $y_2 \approx 5,6147$, $a \approx -0,6261$, $b \approx -0,0181$, $c \approx 1,0880$, однако, как и в варианте 1, вся семёрка полюсов оказывается крайней слева из-за простой пары $p_{1,2} \approx 0,0507 \pm 1,0215i$ (последняя определяет неустойчивость замкнутой системы).

Заключение. Рассмотренный пример позволяет утверждать, что алгебраический подход к стабилизации дескрипторной системы регулятором заданной структуры позволяет использовать в точности те же приёмы, которые применялись в классических системах управления. Но следует отметить следующие отличия.

Во-первых, вхождение параметров регулятора в числитель его передаточной функции при $\deg N_{pl} > \deg D_{pl}$ приводит к тому, что весь их набор $\{a; b; c; d\}$ входит в каждый коэффициент остатка от деления характеристического многочлена на корневой. Это заметно увеличивает трудности их нахождения из системы $eq_k(a, b, c, d, x, \dots) = 0$ ($k = 0, \dots, \deg r(s) - 1$) линейных уравнений с полиномиальными коэффициентами; аналогичные системы уравнений для трёхмассового объекта оказывались треугольными, а в

одном из случаев — даже диагональными (для двойного перевернутого маятника в качестве управляемого объекта, подробное изложение в [11]).

Во-вторых, трудности решения системы $eq_k(a, b, c, d, x, \dots) = 0$ отчасти выражаются в расходимости стандартных вычислительных процедур в тех случаях, когда решение существует и обнаруживается после некоторых преобразований (например, как в варианте 1; отметим, что при поиске решений в поле комплексных чисел решение находилось почти всегда). Приведённые выше решения являются локальными минимумами, что косвенно подтверждается попытками градиентного спуска из найденных точек: все они не выходили из окрестности указанных значений.

В-третьих, неоднократные попытки решения полиномиальной системы $eq_k(a, b, c, d, x, \dots) = 0$ с помощью градиентной минимизации до нуля целевой функции $E = \sum_{k=1}^{\deg r(s)} eq_{k-1}^2(a, b, c, d, x, \dots)$ приводили к постепенному сползанию градиентного

спуска в одно из решений системы уравнений $eq_k(a, b, c, d, x, \dots) = 0$, что косвенно подтверждает их оптимальность; отметим, что градиент ∇E здесь выражается аналитически и находится с незначительными вычислительно-временными затратами (градиентный спуск можно использовать и для непосредственной минимизации R-градуировок, которые в естественных примерах удовлетворяют условию Поляка — Лоясевича [10]).

В-четвёртых, предлагаемый пример показал большое разнообразие решений, соответствующих «зеркальным» (по отношению к критическим) корневым диаграммам; для классических систем управления такое множество некритических расположений корней нетипично.

Наконец, отметим, что алгебраические приёмы для исследования дескрипторных объектов включают в себя матричное уравнение Риккати [1–3], полиномиальную интерполяцию выделенных точек [12], структурированный итеративный поиск собственных значений [13] и др.; тем не менее выбор структуры регуляторов и оптимизация их параметров для дескрипторных систем управления осуществляется в пространстве состояний. Так, в работе [5] сравниваются два различных подхода к стабилизации k -массовой системы с упругими связями и ограничениями в пространстве состояний, хотя в [4] отмечалась возможность адекватного перевода такой модели в строго алгебраическую (т. е. матрично-полиномиальную) форму. Между тем полиномиальные методы показали свою эффективность в задаче стабилизации колебаний трёх тел с упругими связями, рассмотренных в [14, 15] как классическая система управления, а в [5] — как дескрипторная система с сервоограничениями алгебраического типа. Такое же сопоставление возникает для полиномиального решения маятниковых задач [8, 11, 14, 15] и схожих моделей с сервоограничениями, приведённых в [16, 17]. Проанализированный в работе пример убеждает, что полиномиальный подход может служить полезной альтернативой обычным методам стабилизации практически обусловленных моделей дескрипторного типа, а поскольку типичные задачи моделирования нелинейных динамических систем связаны с одновременным рассмотрением дифференциальных и функциональных уравнений (см., напр., [18, 19]), то линейаризация последних также приведёт к решению или качественному исследованию систем ДАУ.

Благодарность. Автор выражает признательность проф. Штефану Тренну (Университет Гронингена) за ознакомление и консультации в этой области.

СПИСОК ЛИТЕРАТУРЫ

1. Белов А. А., Курдюков А. П. Дескрипторные системы и задачи управления. М.: Физматлит, 2015. 272 с.

2. **Berger Th., Reis T., Trenn S.** Observability of linear differential-algebraic systems — a survey. Surveys in Differential-Algebraic Equations IV /Ed. A. Ilchmann, T. Reis. Springer Editors, 2017. P. 161–219.
3. **Feng Y., Yagoubi M.** Robust Control of Linear Descriptor Systems. Singapore: Springer, 2017. 142 p.
4. **Altmann R., Heiland J.** Simulation of multibody systems with servo constraints through optimal control // Multibody System Dynamics. 2017. **40**, N 1. P. 75–98.
5. **Otto S., Seifried R.** Open-Loop control of underactuated mechanical systems using servo-constraints: Analysis and some examples // Applications of Differential-Algebraic Equations: Examples and Benchmarks /Ed. by Campbell S., Ilchmann A., Mehrmann V., Reis T. Differential-Algebraic Equations Forum. Springer Nature Switzerland AG, 2019. P. 81–122.
6. **Chekhonadskikh A. V., Voevoda A. A.** Algebraic design method of low order control systems // Proc. of the Int. Siberian Conf. on Control and Communications (SIBCON 2015). Proceedings, 2015. 7147022. DOI: 10.1109/SIBCON.2015.7147022.
7. **Чехонадских А. В.** Корневые координаты в синтезе одноканальных систем автоматического управления пониженного порядка // Автометрия. 2015. **51**, № 5. С. 113–123.
8. **Chekhonadskikh A. V.** Some classical number sequences in control system design // Siberian Electronic Mathematical Rep. 2017. **14**. P. 620–628.
9. **Wijnbergen P., Trenn S.** Optimal control of DAEs with unconstrained terminal costs // Proc. of the 60th IEEE Conf. Decision and Control (CDC 2021). Austin, USA, Dec. 14–17, 2021. 21541247. P. 5275–5280.
10. **Балашов М. В.** Невыпуклая оптимизация // Теория управления. Дополнительные главы /Под ред. Д. А. Новикова. М.: ЛЕНАНД, 2019. С. 259–280.
11. **Воевода А. А., Корюкин А. Н., Чехонадских А. В.** О понижении порядка стабилизирующего управления на примере двойного перевёрнутого маятника // Автометрия. 2012. **48**, № 6. С. 69–83.
12. **Зубова С. П.** О критериях полной управляемости дескрипторной системы. Полиномиальное решение задачи управления при наличии контрольных точек // Автоматика и телемеханика. 2011. № 1. С. 27–41.
13. **Benner P., Lowe R., Voigt M.** L_∞ -Norm computation for large-scale descriptor systems using structured iterative eigensolvers // Numerical Algebra. 2018. **8**, N 1. P. 119–133.
14. **Koryukin A. N., Chekhonadskikh A. V.** Extreme root location of real polynomials and stabilization of 3-mass control system // Algebra and Model Theory 8: Collection of papers. Novosibirsk: NSTU Publ., 2011. P. 19–39.
15. **Корюкин А. Н., Воевода А. А.** ПИД-регуляторы двухмассовой системы и двукратные комплексные пары // Сиб. журн. индустр. матем. 2015. **18**, № 1. С. 56–68.
16. **Otto S., Seifried R.** Analysis of servo-constraints solution approaches for underactuated multibody systems // Mechanical Sci. 2013. **4**, N 1. P. 113–129.
17. **Blajer W., Seifried R., Kolodziejczyk K.** Servo-constraint realization for underactuated mechanical systems // Archive of Appl. Mechanics. 2015. **85**. P. 1191–1207.
18. **Золотухин Ю. Н., Котов К. Ю., Мальцев А. С. и др.** Управление вектором скорости летательного аппарата // Автометрия. 2021. **57**, № 4. С. 3–9. DOI: 10.15372/AUT20210401.
19. **Ерёмин Е. Л., Никифорова Л. В., Шеленок Е. А.** Комбинированное нелинейное управление системой перевёрнутых маятников при ограничении управляющих сигналов // Автометрия. 2021. **57**, № 4. С. 74–84. DOI: 10.15372/AUT20210409.

Поступила в редакцию 27.12.2022

После доработки 20.01.2023

Принята к публикации 17.02.2023